

(HUANJING KEXUE)

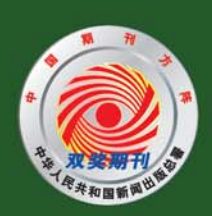
ENVIRONMENTAL SCIENCE

第33卷 第8期

Vol.33 No.8

2012

中国科学院生态环境研究中心 主办



終 佐 静 享 (HUANJING KEXUE)

ENVIRONMENTAL SCIENCE

第33卷 第8期2012年8月15日

目 次

南海北部大气气相多溴联苯醚的含量及来源 李琦路,李军,刘向,徐维海,张干(2533)河北张家口市大气污染观测研究
河北地名口古土台泛流加洲河南南
刊北京《日中八·【行朱观则刊元 中于,王利利,文俊孙,周彦昭,王玖心(2536)
大气中内烷光氧化臭氧生成冶性的烟雾箱模拟 黄丽华,吴创荣,徐永福,贾龙(2551)
膜生物反应器处理甲苯性能及机制叶杞宏、魏在山、肖盼、李华琴、张再利、樊青娟(2558)
厨余垃圾堆肥过程中恶臭物质分析
北京城市生态系统地表水硝酸盐污染空间变化及其来源研究 徐志伟,张心昱,任玉芬,孙晓敏,王效科,王升忠(2569)
北京城市生态系统地农小明政益行朱至问文化及英未添明五 "标志市,本心立,世玉分,並就载,王效杆,工开志(2509)
枯、平、丰水期长江3条支流表层水中多氯联苯的分布特征及风险评价
三峡库区丰水期表层水中酚类的分布特征及潜在风险 吴正勇,赵高峰,周怀东,曾敏,廖柏寒,吴正勇,张盼伟,柳敏(2574) 三峡库区丰水期表层水中酚类的分布特征及潜在风险 吴正勇,赵高峰,周怀东,李科林,李昆,张盼伟(2580) 东湖表层水体中全氟辛酸和全氟辛磺酸空间分布特征
左州主目水桥中人看立麟和人看立麟都公司公太桂红
小例农区小件工工规十段和工规十项的工厂内力和TUL.
三峡库区大宁河与磨刀溪重金属污染特征 安立会,张艳强,郑丙辉,刘玥,宋双双,李子成,陈浩,赵兴茹,林进(2592)
长江水系表层沉积物重金属污染特征及生态风险性评价
江蓝加东滩涂П米美殖区丰层沉积物山黄今届亚源分析及甘港在广物青性 李吾 工三龙 蒸む 青朗 次新瑶(2607)
在分别小师研究大介担色农区UM的等于里亚两不断刀切及兴宙在工物专口。
机到强度对众例机快初中解释放及其形态转化的影响 ····································
十流倒灈异重流对杳溪河库湾宫养盐的补给作用 张宇,刘德富,纪道斌,杨正健,陈媛媛(2621)
常年淹水和干旱对三峡库区消落带菖蒲生长恢复的影响 李强,高祥,丁武泉,朱启红,欧媛,刘瑜(2628)
温州城市降雨经流磷的角荷及其初始冲刷效应 周桂 陈振楼 毕素鸠(2634)
加州为山区中间上流域的西方法的逐步绘山柱红。
7. 一个一个一个一个一个一个一个一个一个一个一个一个一个一个一个一个一个一个一个
城郊农业区小流域土地利用结构对氮系输出的影响
基于 AnnAGNPS 模型四岭水库小流域氮磷流失特征的模拟研究 边金云,王飞儿,杨佳,俞洁,楼莉萍,俞丹萍(2659)
基于 GIS 和 L-THIA 模型的深圳市观澜河流域非占源污染负荷变化分析 ························ 白凤姣 李天宏(2667)
黄土丘陵区城南水州对降雨和下热面微观校昌的响应 工作 曹逗些 阵利而 呈左亚 阵球(2674)
更上几夜已极田小压对阵的伸手至田顶就竹河的响应 上下, 贝福名, 卧河坝, 大水下, 卧堡(2014)
强化混凝对腐殖酸和晶里酸去除对比研究
九龙江卜游水源水中新发病原微生物和抗生素抗性基因的定量 PCR 检测 ············ 王青,林惠荣,张舒婷,于鑫(2685)
布吉河丰水期总细菌和氨氧化细菌的定性和定量研究 · · · · · · · · · · · · · · · · · · ·
曝气生物滤池工艺脱氡性能及反硝化细菌群落结构特征研究
城市运水外理厂每化物工艺微片物种群分析 郭云 杨殿海 卢文健(2700)
70. 10. 10. 10. 10. 10. 10. 10. 10. 10. 1
IC 及应给处理学问及小的效能及共倾生物种冷幼恋分别。
三峡库区大宁河与磨刀溪重金属污染特征 安立会,张艳强,郑丙辉,刘玥,宋双双,李子成,陈浩,赵兴茹,林进(2592)长江水系表层沉积物重金属污染特征及生态风险性评价
UV/H,O, 法对印染废水生化出水中不同种类有机物的去除效果 ····································
蛋白核小球藻 Chlorella pyrenoidosa-15 的异养培养条件优化及污水养殖
里口板了外来 Chaocha pyreholausa-15 出开介绍介尔门拉巴及门尔尔里工系统 本业职 职写出 本占据 告行若 经点表(2725)
工为市,子允庄,加湿风,子丰荣,表红利,彻金尔(2133)
"Fe"/优势脱氯菌"体系降解 2,4,6-TCP 特性及机制研究 戴友芝,郭丽丽,史雷,刘智勇,高宝钗(2741)
树脂 D201 上粗漆酶的固定化及对孔雀石绿的脱色 ················· 戚绪亮,刘翔,刘波,王林,王小春,方超(2747)
TiO./PS/Fe.O.光催化剂的低温制备及其光催化和磁回收性能 ········· 王雪姣 任学昌 念娟妮 肖举强 王刚 常青(2752)
微波加热下来的催化氧化性能研究 张红彩 上水利 王晓晖 刘海楠 张浩(2759)
M业外外外的目标用作为作用工法研究和研究的 有一贯 这是 逐步 近对 化生素 明神中(2727)
到外做切的问解的联闭作用了值性存死性比的明光
好氧颗粒污泥沉降选择头验研究与定量描述
超声波促进好氧/缺氧污泥消化过程中水解酶活性变化研究
微生物营养剂浓度对生物沥浸法促进城市污泥脱水性能的影响 宋永伟,刘奋武,周立祥(2786)
空哈会条件下萨嘉结中对任温光昭胁迫的响应与微结构变化
大型主示[] 血球印文对体皿/元龄度的神迹与版和诗文化
四角地区条巴小相工有性映序的学 1 幼恋
典型设施采地土壤抗生系污染特征与积系规律研究
土壤铜硒复合污染中金属形态转化及其对生物有效性的影响 胡斌,梁东丽,赵文龙,缪树寅(2817)
十壤微牛物群落对多环芳烃污染十壤牛物修复过程的响应 张晶,林朱贵,刘魏魏,尹睿(2825)
可可手角一种菌对隹化厂土壤多环苦烃污染修复
宁西艾山岭矿民孙山岭县一丰的沿岸市区区区。
) 四宋山郊9 尼沙里顶里几条时价低头湿明九
北京市近郊区土壤岬系积特位
抗氧化酶基因作为多外麝香污染分子标志物研究
臭氧污染对不同品种小麦干物质与生物量碳积累与分配的影响 寇太记,于伟伟,朱建国,朱新开(2862)
尿素分解共沉淀法中反应时间对 ZnAI 类水滑石结构和磷吸附性能的影响 ·········· 陆英 程翔 邢波 孙中思 孙德恕(2868)
铅利铜离子在纳米羟基碳灰石上的音争吸附动力学研究
илияты л цлимд <u>Филин цр. т уми улутулт уми улутул</u> уми н
pII 和 NI - 列入上到不氧化硅吸附非的影响
钿在凹凸悴石上的收附符性与机制研究
环丙沙星在潮土中的吸附特性 崔皓,王淑平(2895)
中高温区水合肼 SNCR 脱硝反应机制和特性研究 洪鎏, 陈德珍, 王渡 黄榛(2901)
7 0 1 1 1 1 1 1 1 1 1 1 1 1 1 1 1 1 1 1
- H.S. 洗逢性催化氧化 艺及催化剂研究现状 ····································
H ₂ S 选择性催化氧化工艺及催化剂研究现状 ····································
微生物营养剂浓度对生物沥浸法促进城市污泥脱水性能的影响 宋永伟,刘奋武,周立祥(2786)实验室条件下蓝藻结皮对低温光照胁迫的响应与微结构变化 饶本强,李华,熊瑛,兰书斌,李敦海,刘永定(2793)西南地区紫色水稻土活性碳库的季节动态 吴艳,江长胜,郝庆菊(2804)典型设施菜业土壤抗生素污染特征与积累规律研究 尹春艳,骆永明,滕应,章海波,陈永山,赵永刚(2810)土壤铜硒复合污染中金属形态转化及其对生物有效性的影响 胡斌,梁东丽,赵文龙,缪树寅(2817)土壤微生物群落对多环芳烃污染土壤生物修复过程的响应 张晶,林先贵,刘魏魏,尹睿(2825)可可毛色二孢菌对焦化厂土壤多环芳烃污染化复 张志远,王翠苹,刘海滨,孙红文(2832)广西茶山锑矿尾砂中微量元素的淋滤实验研究 蔡永兵,李玲,魏晓飞,张国平,李海霞,付志平(2840)北京市近郊区土壤碑累积特征 咸洁,王美娥,注自强,欧阳志云(2849)抗氧化酶基因作为多环麝香污染分子标志物研究 蔡永兵,李玲,魏晓飞,张国平,李海霞,付志平(2840)北京市近郊区土壤碑累积特征 咸洁,王美娥,注自强,欧阳志云(2849)抗氧化酶基因作为多环麝香污染分子标志物研究 蔡永兵,李玲,魏晓飞,张明平,李海霞,付志平(2865)臭氧污染对不同品种小麦干物质与生物量碳积累与分配的影响 宠太记,于传伟,朱建国,朱新开(2862)泉素分解共沉淀法中反应时间对 ZnAl 类水滑石结构和磷吸附性能的影响 陆英,建翔,邢波,孙中思,孙德智(2868)铅和铜离子在纳米羟基磷灰石上的竞争吸附动力学研究 胡田田,仓龙,王玉军,司友斌,周东美(2875)pH 和 Ni²+对人工纳米氧化硅吸附非的影响 胡田,仓龙,王玉军,司友斌,周东美(2887)时,对外人工纳米氧化硅吸附非的影响 如娟,陈迪云,张静,宋刚,罗定贵(2889)环丙沙星在潮土中的吸附特性

东湖表层水体中全氟辛酸和全氟辛磺酸空间分布特征

陈静,王琳玲*,朱湖地,王贝贝,刘黄诚,曹梦华,苗竹,胡丽,陆晓华,刘光虹

(华中科技大学环境科学与工程学院,环境科学研究所,武汉 430074)

摘要: 研究了东湖表层水体中全氟辛酸(PFOA)和全氟辛磺酸(PFOS)的含量及空间分布特征,总量范围为 $31.1 \sim 237$ ng·L⁻¹,几何平均值为 115 ng·L⁻¹,表明整个湖区受到不同程度的 PFOS 和 PFOA 污染.全部水样均检出了 PFOS 和 PFOA,峰值达到 132 和 158 ng·L⁻¹,几何平均值分别为 60.4 和 55.0 ng·L⁻¹. 湖区东部污染最严重,其次是湖区南部,湖区北部和西部污染程度相对较轻.与 PFOS 相比,高浓度 PFOA 分布相对分散,PFOS 和 PFOA 含量之间无显著相关性,表明东湖表层水体中PFOS 和 PFOA 属于多源输入. 30 个(63%)取样点上 PFOS 含量超过可能对水生生态系统产生影响的临界数值(43 ng·L⁻¹), 20 个(42%)取样点上 PFOA 含量超过美国新泽西洲制定的饮用水标准(40 ng·L⁻¹).

关键词:东湖; 表层水; PFOA; PFOS; 空间分布

中图分类号: X131; X524 文献标识码: A 文章编号: 0250-3301(2012)08-2586-06

Spatial Distribution of Perfluorooctanoic Acids and Perfluorinate Sulphonates in Surface Water of East Lake

CHEN Jing, WANG Lin-ling, ZHU Hu-di, WANG Bei-bei, LIU Huang-cheng, CAO Meng-hua, MIAO Zhu, HU Li, LU Xiao-hua, LIU Guang-hong

(Research Institution of Environmental Science, Department of Environmental Science and Engineering, Huazhong University of Science and Technology, Wuhan 430074, China)

Abstract: Concentrations and spatial distribution of PFOS and PFOA in surface water from East Lake in Wuhan, Hubei, China were studied. The total concentration of PFCs ranged from 31.1 to 237 ng·L⁻¹, and the mean value was 115 ng·L⁻¹, revealing lake-wide contamination in East Lake. PFOS and PFOA were detected in all samples with maximum values of 132 ng·L⁻¹ and 158 ng·L⁻¹, respectively, whereas the mean values of PFOS and PFOA were 60.4 and 55.0 ng·L⁻¹, respectively. The highest concentrations of PFOS and PFOA were found in the eastern area of lake, followed by the southern area of lake, and the western and northern areas of East Lake were the least contaminated regions. The specific distribution and composition profile of PFOS and PFOA, and the lack of significant correlation between PFOS and PFOA, suggested that there were various sources of PFCs. The PFOS concentrations at 30 sample sites (63%) were greater than 43 ng·L⁻¹, which was used to estimate an avian wildlife value for PFOS. The PFOA concentrations at 20 sample sites (42%) were greater than 40 ng·L⁻¹, which was a health-based guidance level recommended by the State of New Jersey for PFOA.

Key words: East Lake; surface water; PFOA; PFOS; spatial distribution

全氟取代有机物(PFCs)是一种曾广泛使用的工业品.由于其疏水和疏油的特性而被用作地毯、皮革、纸张、食物容器、织物和室内装潢的表面活性剂和表面保护剂,另外还被用于灭火泡沫、地板上光剂和洗发精等产品的功能化学制品.全氟辛磺酸(PFOS)和全氟辛酸(PFOA)是两种典型的代表性物质.PFCs性质稳定,在自然环境中很难分解,已成为持久性有机污染物新成员,并造成了全球性的污染「小体环境既是PFCs的汇[2,3],也是重要污染传输源.水生态系统中各营养级物种的生物富集作用和沿食物链(网)传递效应都可能导致PFCs在高营养级生物体内的高浓度存在[4],并且这类物质在水生生态系统中的长期、低剂量暴露也有可能对生物安全构成威胁[3,5,6].因此,了解PFCs在水环境中

的分布特征极为重要. 目前的研究多集中于海洋生态系统^[7,8],与海洋生态系统相比,湖泊生态系统受人类活动的影响程度更大,与人类生活关系更加密切,而相关的湖泊生态系统的研究则较少^[9,10]. 在我国环境介质和生物体内,甚至人体血液和母乳中均有检测到 PFCs 的报道^[7,11~14]. 在一些受人类活动较为显著的地区, PFCs 含量明显较高, 其含量与欧美等地区的相当.

武汉东湖位于武汉市,是长江中下游一个典型的中型浅水湖泊,也是我国最大的城中湖.东湖处于

收稿日期: 2011-10-23; 修订日期: 2011-11-28

基金项目: 国家自然基金项目(40701159,20907014);环境模拟和污染控制国家重点实验室开放基金项目(09K07ESPCT) 作者简介: 陈静(1975~),女,博士,副教授,主要研究方向为污

染物环境行为, E-mail: chenjing@ mail. hust. edu. cn

* 通讯联系人,E-mail:wanglinling@ mail. hust. edu. cn

富营养化状态,并向严重富营养化方向发展. 湖区内有渔业养殖,湖滨浅水带有莲藕、菱角及其他经济作物生长,是武汉市鱼类等的副食品基地之一. 因此开展东湖水体中 PFCs 分布特征的研究,评估 PFCs 在东湖水体中的环境风险具有重要的环境意义.

1 材料与方法

1.1 试剂

PFOA(96%)、甲醇和醋酸铵均购于 Aldrich 化学试剂公司(新泽西,美国),PFOS(99%)和全氟十二烷酸(PFDoA,99%)购于 Sigma-Aldrich 化学试剂公司(东京,日本).

1.2 采样

2009 年 6 月,在东湖湖区内布点 48 个,采集表层水样(0~10 cm),采样点分布见图 1. 东湖湖区总体上分为四部分,沿湖大道将东湖分为南北两部分,西部的水果湖(采集样本 4 个)又被两湖桥路分隔开来,东部湖区(采集样本 6 个)被东湖东路分隔.每个采样点取 3 个平行样,用洁净的 500 mL 聚乙烯瓶采集水样,密封运回实验室后用稀盐酸溶液调节水样的 $pH \le 2$,再用直径 50 mm、孔径 0.45 μ m的醋酸纤维滤膜(55 mm Ø, 0.8 μ m, Adcante,东京,日本)过滤,4℃保存.

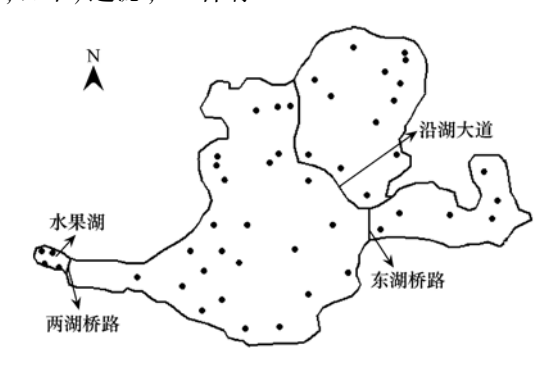


图 1 东湖表层水体取样点示意

Fig. 1 Location of sample sites in surface water of East Lake

1.3 分析

水样进行固相萃取(SPE), SPE 柱(3 mL, 500 mg, 400 m²·g⁻¹, Supelco, Bellefonte, PA, 美国)预先活化, 先用约6 mL 甲醇以1~2 mL·min⁻¹的速度通过 SPE 柱, 再用约6 mL 去离子水以1~2 mL·min⁻¹的速度通过 SPE 柱, 然后取500 mL 水样以1~2 mL·min⁻¹的流速通过 SPE 柱. 水样萃取完全后, 用吸管吸取约2 mL 去离子水,以1滴·S⁻¹的流速通过 SPE 柱, 直到柱子被完全抽干. 再用6 mL甲醇以约半滴·s⁻¹(<0.5 mL·min⁻¹)的速度通过

SPE 柱,洗脱液用 10 mL 带盖聚乙烯塑料管接取,最后氮吹浓缩、用甲醇和内标物 PFDoA 定容至 1 mL, 4℃保存以待 HPLC-MS 分析.

使用高效液相色谱/离子肼质谱联用(Agilent 1100 LC/MSD Trap-XCT)分析 PFOA 和 PFOS. 内标 法定量(内标物 PFDoA). 检测条件为:干燥气(N₂) 温度 350℃; 干燥气流速 10 L·min⁻¹; 喷雾器压力: 40 psi; Skimmer 电压: -40 V. 色谱柱为 Luna C18 column (100×2 mm×5 μm, Phenomenex, USA); 流 动相为甲醇和1 mmol·L⁻¹乙酸铵,采用梯度洗脱模 式,甲醇含量分别为:0~2 min,40%~60%;2~5 $\min,60\% \sim 75\%$; $5 \sim 18 \min,75\%$; $18 \sim 19 \min$ 75%~60%; 然后稳定6 min; 流速:200 μL·min⁻¹; 柱温:40℃; 进样量:5 μL. 质谱采用 ESI 离子源,选 择负离子模式,扫描电压:1500 V. MRM 分段检测 模式,PFOS 用 m/z 499 定性,而 PFOA 用 2 个子离 子(m/z 413 和 369)的相对丰度定性,内标(PFDoA) 法定量. PFOS 和 PFOA 的线性范围分别为 0.5~100 和 1~200 ug·L⁻¹($R^2 = 0.998$), 回收率为 95.6%~ 104%, 仪器检出限为 0.07 和 0.65 μg·L⁻¹ (S/N = 3),方法检测限分别为 0.126 和 1.17 ng·L⁻¹(S/N ≥10). 空白(试剂和器皿)样品得到的总离子流丰 度很低,表明整个检测过程中试剂和仪器的干扰可 忽略不计.

2 结果与讨论

2.1 东湖表层水体中 PFCs 含量及空间分布特征

全部水样均检出了 PFOS 和 PFOA,总量范围为 31.1~237 ng·L⁻¹,几何平均值为115 ng·L⁻¹,表明 整个湖区受到不同程度的 PFCs 污染. 东部湖区表 层水体中 PFCs 含量最高,含量范围在 154~237 ng·L-1之间,几何平均值为194 ng·L-1,其次为南部 湖区,几何均值为 126 ng·L⁻¹,而北部湖区和水果湖 受 PFCs 污染相对较轻,几何平均值分别为 68.8 和 80.9 ng·L⁻¹. 东部湖区表层水体 PFCs 污染最严重, 含量在150 ng·L-1以上,本湖区过去接收周围居民 生活和工业生产排放的污水,并且与东湖湖区之间 有东湖东路相隔,水体相对较为封闭,这可能是本湖 区受 PFCs 污染最为严重的原因之一. 东湖南北两 大湖区水体中 PFCs 分布特征存在显著差异,东湖 南部湖区(不包括水果湖)水体中 PFCs 含量多在 100~150 ng·L⁻¹之间,局部地区有 150~200 ng·L-1高值分布,这与湖区南部周围分布着密集的 高校、居民、医院和商业区有关. 水果湖表层水体

PFCs 含量多在 50~100 ng·L⁻¹之间,其含量范围与 北部湖区的相似,属于污染相对较轻的湖区.

东湖表层水体中 PFOS 和 PFOA 含量范围分别为 9.06~132 ng·L⁻¹和 15.8~158 ng·L⁻¹(表 1),几何平均值分别为 60.4 和 55.0 ng·L⁻¹,两者平均值相差不大,但 PFOS 和 PFOA 中值差异较大,分别为 56.5 和 32.9 ng·L⁻¹,PFOS 的中值比 PFOA 高出71.7%.分析各个湖区 PFOS 和 PFOA 含量的差异,发现除了北部湖区,其余湖区表层水体中 PFOS 的中值均显著高于 PFOA,例如南部和西部湖区表层水体中 PFOS 中值均显著高于 PFOA的 2倍,而东部湖区中的 PFOS 中值比 PFOA的 34.1%.因此从整体上来说,PFOS的污染更为严重.

表 1 东湖表层水体中 PFOS 和 PFOA 含量/ng·L-1

Table 1 Concentrations of PFCs in surface water of East Lake/ng·L⁻¹

					0
位置	PFCs	最小值	最大值	平均值	中值
	PFOS	9.06	132	60. 4	56. 5
\\\\\\\\\\\\\\\\\\\\\\\\\\\\\\\\\\\\\\	PFOA	15. 8	158	55.0	32.9
北部湖区	PFOS	9. 1	48. 3	29. 9	23.9
40 HAIA1 57	PFOA	22. 0	144	38. 9	25.6
南部湖区	PFOS	12.7	132	66. 2	67.7
H) HMH/ CZ	PFOA	15. 8	158	59. 9	34. 2
东部湖区	PFOS	84. 1	124	108	110
717 HAIM TO	PFOA	43. 9	127	86. 2	82. 1
水果湖	PFOS	45. 0	57. 5	51.3	51.3
714 714 1191	PFOA	25. 0	38. 4	29. 6	27. 5

东湖表层水体中各采样点上 PFOS 和 PFOA 含量分布见图 2.表层水体中 PFOA 和 PFOS PFOA/

PFOS 比值在 $0.25 \sim 4.44$ 之间,中值为 0.87 $ng \cdot L^{-1}$,说明与 PFOA 相比,东湖表层水体受 PFOS 污染程度更重. 相关性分析表明 PFOA 和 PFOS 含量之间无显著相关性,表明东湖水体中 PFOS 和 PFOA 来自多种污染源的输入.

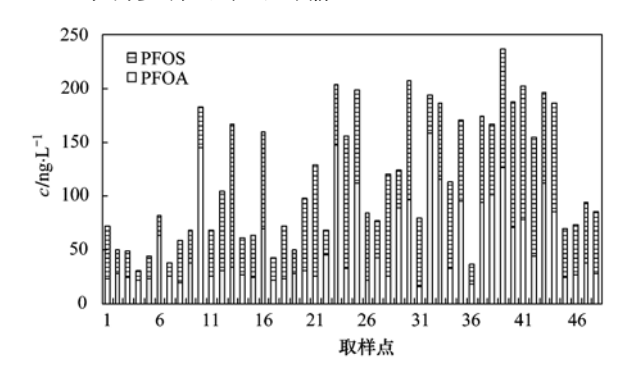


图 2 东湖表层水体中 PFOS 和 PFOA 分布

Fig. 2 Concentration distribution of PFOA and PFOS in surface water of East Lake

总体上,PFOS 和 PFOA 空间分布特征十分相似 (图 3). 东部湖区污染最严重,PFOS 含量多在 100 ng·L⁻¹以上,而 PFOA 含量多在 80 ng·L⁻¹以上,其次为南部湖区,北部湖区和水果湖污染相对较轻,均值为 20~30 ng·L⁻¹. 南部湖区中,尽管 PFOS 和 PFOA 均值相差不大(66.2 和 59.9 ng·L⁻¹),但 PFOS 中值约是 PFOA 的 2 倍,这与空间模拟结果一致. 高浓度 PFOA 分布相对分散,且污染程度和覆盖面积相对较小,这种局部的异常高值使得 PFOA 浓度在空间分布上表现出相对不均一.

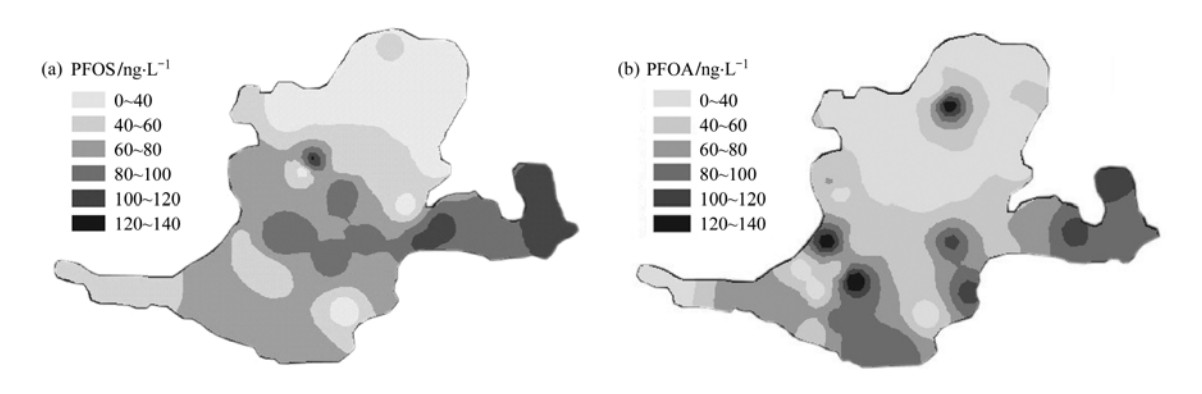


图 3 东湖表层水体中 PFOS 和 PFOA 空间分布特征

Fig. 3 Spatial distribution of PFOA and PFOS in surface water of East Lake

2.2 与世界其它地区湖泊和河流中 PFCs 分布的比较 东湖表层水体中 PFOS 和 PFOA 平均含量均高 于国内报道的其它地区的湖泊和河流. 我国地表水体中 PFOS 和 PFOA 一般在ng·L⁻¹级. 太湖表层水体中 PFOS 和 PFOA 比东湖的低一倍左右^[10],但太

湖中检测到 PFOS 异常高值达到了 394 ng·L⁻¹,是 东湖 PFOS 峰值的 3 倍. 其它地区报道的湖泊中 PFOS 和 PFOA 含量均显著低于东湖. 例如,沈阳市 周围的 10 个湖泊中检测到的 PFOA 含量在 10 ng·L⁻¹左右,而 PFOS 含量低于检测限^[15]. 北京的官 厅水库中的 PFOS 和 PFOA 比东湖的低 1~2个数量级^[16]. 国内的河流中 PFOS 和 PFOA 含量一般低于东湖,含量在零点几到十几ng·L⁻¹左右^[10,12,16~18]. 但在高度工业化地区及密集居民区附近的水域中检出了高浓度 PFOS 和 PFOA. 例如辽宁阜新工业园区附近的西河^[18]和长江入海口检测到数百ng·L⁻¹的 PFOA 和 PFOS^[12]. 总的来说,与我国其它地区的湖泊和河流相比,东湖表层水体中 PFOS 和 PFOA 含量偏高,这与东湖是城中湖,受周围密集的居民和商业活动影响幅度较大有关.

PFOS 和 PFOA 分布在我国呈现出地域差异. 与 PFOA 相比, 东湖表层水体中 PFOS 的污染程度和幅 度更大. 汉江(武汉段)^[19]、松花江(哈尔滨段)^[20]、扬子江^[18]和珠江^[21]等地水域中也发现类似的分布 特征. 但在我国其它地区的地表水中, PFOA 则是主要 PFCs^[10,15~17].

北美五大湖及欧洲一些湖泊水体中均有 PFOS 和 PFOA 含量的报道,北美地表水中 PFCs 含量普遍较高,例如,北美五大湖湖水及美国境内地表水域 PFOS 和 PFOA,均值为十几到三十几ng·L^{-1[22,23]},这与北美过去是世界主要 PFCs 生产基地并广泛使用有关.欧洲境内 100 多条河流也检测出了 PFOS 和 PFOA,均值分别为 39 和 12 ng·L^{-1[24,25]},但在其中的一些河流中检测到数千ng·L⁻¹的 PFOS^[24].亚洲地区韩国和日本地表水体中 PFCs 含量相对较低,一般在ng·L⁻¹级^[26].

水环境中 PFCs 污染水平与人类生活和区域性 工业化程度有关. 含 PFOS 和 PFOA 的工业污水和 生活污水、垃圾填埋场渗出物以及大量使用的泡沫 灭火剂是水环境中 PFOS 和 PFOA 污染的主要来 源. 如氟化工厂或者是污水处理厂等周围水域中 PFCs 含量较高,有的甚至达到数千ng·L-1[27]. 东湖 表层水体中 PFOS 和 PFOA 的含量及分布未显示出 高相关性和一致性,属于典型的多源输入,总体上 PFOS 含量占有优势. 由于缺乏 PFCs 在环境中传播 源的信息,目前尚不清楚这类物质如何在环境中积 累. 目前公认的是 PFCs 全球大范围的使用以及其 前体物(氟聚醇)在大气中的迁移导致这类物质的 全球性污染. 研究表明[28],湖泊中 PFCs 主要来自污 水处理厂的排放,消费者清洗和维护有表面活性剂 处理过的产品(例如衣物、地毯等)以及此类产品的 工业生产过程均可能导致 PFCs 泄漏到城市污水处 理系统中,而垃圾渗滤液中也可能将这类物质释放 到污水处理系统中,从而进入湖泊环境.有研究表 明^[29,30],污水处理厂及其周围水域均可检测到高浓度 PFCs,污水处理厂出水中 PFOA 含量比进水中的高 20 倍,周围水域中 PFCs 含量也明显增加. Zushi等^[31]指出,在人类活动较为频繁的地区,河水中来自雨水冲刷的 PFCs 负荷比来自污水处理厂出水的负荷高出 2~11 倍. 他们发现用于家居和户外的含有 PFCs 的产品是一个重要污染源,PFCs 排放到环境中,下雨时被雨水冲刷带入河流中.除了污水排放和雨水冲刷之外,气体胶体和颗粒物沉降也是水生生态系统中 PFCs 的重要来源^[28,32].从 PFCs 生产中心、处理车间以及被处理过的产品中释放的挥发性物质进入大气中,通过大气迁移,然后沉降到地表水体中,由于 PFCs 性质稳定,不易降解,因此导致在全球水生生态系统广泛分布.

Jin 等^[19]在 2003 年采集武汉东湖表层水体样本,分析 PFOS 和 PFOA 含量分别为 3.8 和 3.3 ng·L⁻¹,而本研究样本采自 2008 年,PFOS 和 PFOA 含量均有明显增加,暗示最近几年武汉可能存在工业化生产或大量使用含有 PFOS 和 PFOA 产品的污染源. 另外, Jin 等^[19]发现汉江(武汉段)水体中PFOS浓度明显高于四川重庆等其他监测点,表明武汉地区其它地表水体也存在着 PFCs 污染. 东湖地处武汉市中心,是我国最大的城中湖,东湖周边地区遍布的各种工业园以及密集的居民、商业和医院是当地环境中 PFCs 的重要污染源,这种多源排放导致了东湖表层水体中 PFOS 和 PFOA 分布不均且相关性不显著. 由于在武汉段长江和汉江均检出PFCs,因此大气沉降是否对武汉地区地表水体中PFCs 有贡献需要进一步研究.

2.3 东湖表层水体中 PFCs 区域环境风险评价

PFOS 和 PFOA 的生物富集倍数大,并可以通过食物链传递,最终在人体内蓄积. 而人类的 PFOS 和 PFOA 生物半减期又明显大于其他动物种属,因此,一旦摄入更容易引起体内蓄积. 美国环保署针对鸟类安全给出北美五大湖湖水 PFOS 临界值为 43 ng·L^{-1[33]},但有研究者^[34]认为实际的浓度大概为该临界值的 50~100 倍. 在本研究中,31 个样本(65%)的 PFOS 含量高于 43 ng·L⁻¹,根据 PFOS 在东湖表层水体的空间分布模拟结果(图 3),2/3 湖区表层水体中的 PFOS 含量均高于此临界值. 新泽西环保局基于非癌变和百万分之一的癌变率,将饮用水中 PFOA 含量标准定为不超过 40 ng·L⁻¹. 在本研究中,20 个取样点(42%)中 PFOA 含量超过 40 ng·L⁻¹,由于 PFOA 不能被常规饮用水处理法有效

去除^[34],水体中 PFOA 高于 40 ng·L⁻¹则表明作为饮用水源人体可能面临潜在风险,东湖作为战略上的储备水源,因此仍然需要引起有关部门的足够重视.

3 结论

- (1) 东湖表层水体中均检出了 PFOS 和 PFOA, 总量范围为 31.1~237 ng·L⁻¹, 表明整个湖区受到不同程度的 PFCs 污染. 东部湖区污染最为严重, 其次为南部湖区, 北部湖区污染相对较轻, 但均值仍超过了 65 ng·L⁻¹. 总体上, PFOS 和 PFOA 空间分布特征与总 PFCs 的十分相似.
- (2)从污染程度上来说, PFOS 的污染更为严重, 中值约为 PFOA 的 2 倍. PFOA 和 PFOS 含量之间未发现有显著相关性, 表明东湖水体中 PFCs 来自多种污染源的输入.
- (3)在本研究中,2/3 湖区表层水体中的 PFOS 含量均高于美国环保署针对鸟类安全给出北美五大湖湖水 PFOS 临界值(43 ng·L⁻¹),约 1/2 湖区表层水体中 PFOA 含量超过了新泽西环保局饮用水中 PFOA 含量标准(40 ng·L⁻¹).

参考文献:

- [1] Tomy G T, Bunakowski W, Halldorson T, et al. Fluorinated organic compounds in an eastern arctic marine food web [J]. Environmental Science and Technology, 2004, 38 (24): 6475-6481
- [2] Houde M, De Silva A O, Muir D C G, et al. Monitoring of perfluorinated compounds in aquatic biota; an updated review [J]. Environmental Science & Technology, 2011, 45 (19); 7962-7973.
- [3] Kim S K, Lee K T, Kang C S, et al. Distribution of perfluorochemicals between sera and milk from the same mothers and implications for prenatal and postnatal exposures [J]. Environmental Pollution, 2011, 159(1): 169-174.
- [4] Kratzer J, Ahrens L, Roos A, et al. Temporal trends of polyfluoroalkyl compounds (PFCs) in liver tissue of grey seals (Halichoerus grypus) from the Baltic Sea, 1974-2008. Chemosphere, 2011, 84(11): 1592-1600.
- [5] Kim S K, Kho Y L, Shoeib M, et al. Occurrence of perfluorooctanoate and perfluorooctanesulfonate in the Korean water system: Implication to water intake exposure [J]. Environmental Pollution, 2011, 159(5): 1167-1173.
- [6] Loi E I H, Yeung L W Y, Taniyasu S, et al. Trophic magnification of poly-and perfluorinated compounds in a subtropical food web[J]. Environmental Science & Technology, 2011, 45(13): 5506-5513.
- [7] Cai M H, Zhao Z, Yang H Z, et al. Spatial distribution of per-

- and polyfluoroalkyl compounds in coastal waters from the East to South China Sea[J]. Environmental Pollution, 2012, 161: 162-169
- [8] Theobald N, Caliebe C, Gerwinski W, et al. Occurrence of perfluorinated organic acids in the North and Baltic seas. Part 1: distribution in sea water [J]. Environmental Science and Pollution Research, 2011, 18(7): 1057-1069.
- [9] Custer C M, Custer T W, Schoenfuss H L, et al. Exposure and effects of perfluoroalkyl compounds on tree swallows nesting at Lake Johanna in east central Minnesota, USA[J]. Reproductive Toxicology, 2011, doi: 10.1016/j.reprotox.2011.01.005.
- [10] Yang L P, Zhu L Y, Liu Z T. Occurrence and partition of perfluorinated compounds in water and sediment from Liao River and Taihu Lake, China[J]. Chemosphere, 2011, 83(6): 806-814.
- [11] Liu J Y, Li J G, Zhao Y F, et al. The occurrence of perfluorinated alkyl compounds in human milk from different regions of China[J]. Environment International, 2010, 36(5): 433-438.
- [12] Bao J, Liu W, Liu L, et al. Perfluorinated compounds in the environment and the blood of residents living near fluorochemical plants in Fuxin, China [J]. Environmental Science & Technology, 2011, 45(19): 8075-8080.
- [13] Wu Y N, Wang Y X, Li J G, et al. Perfluorinated compounds in seafood from coastal areas in China [J]. Environment International, 2012, 42:67-71.
- [14] Zhao H X, Chen C B, Zhang X, et al. Phytotoxicity of PFOS and PFOA to Brassica chinensis in different Chinese soils [J]. Ecotoxicology and Environmental Safety, 2011, 74(5): 1343-1347.
- [15] Sun H W, Li F S, Zhang T, et al. Perfluorinated compounds in surface waters and WWTPs in Shenyang, China: mass flows and source analysis [J]. Water Research, 2011, 45 (15): 4483-4490.
- [16] Wang T Y, Khim J S, Chen C L, et al. Perfluorinated compounds in surface waters from Northern China: comparison to level of industrialization [J]. Environment International, 2012, 42: 37-46.
- [17] Li F S, Sun H W, Hao Z N, et al. Perfluorinated compounds in Haihe River and Dagu Drainage Canal in Tianjin, China [J]. Chemosphere, 2011, 84(2): 265-271.
- [18] Pan G, You C. Sediment-water distribution of perfluorooctane sulfonate (PFOS) in Yangtze River Estuary[J]. Environmental Pollution, 2010, 158(5): 1363-1367.
- [19] Jin Y H, Ding M, Zhai C, et al. An investigation of the PFOS and PFOA pollution in three gorges reservoir areas of the Yangtze River and surface water of Wuhan areas [J]. Ecology and Environment, 2006, 15(3): 486-489.
- [20] 刘冰,金一和,于棋麟,等. 松花江水系江水中全氟辛烷磺酸和全氟辛酸污染现状调查[J]. 环境科学学报,2007,27(3):480-486.
- [21] So M K, Miyake Y, Yeung W Y, et al. Perfluorinated

- compounds in the Pearl river and Yangtze river of China [J]. Chemosphere, 2007, **68**(11): 2085-2095.
- [22] Boulanger B, Varogo J, Schnoor J L, et al. Detection of perfluorooctane surfactants in Great Lakes water [J]. Environmental Science and Technology, 2004, 38 (15): 4064-4070.
- [23] Nakayama S, Strynar M J, Helfant L, et al. Perfluorinated compounds in the cape fear drainage basin in North Carolina [J]. Environmental Science and Technology, 2007, 41 (15): 5271-5276.
- [24] Loos R, Gawlik B M, Locoro G, et al. EU-wide survey of polar organic persistent pollutants in European river waters [J]. Environmental Pollution, 2009, 157(2): 561-568.
- [25] Mclachlan M S, Holmström K E, Reth M, et al. Riverine discharge of perfluorinated carboxylates from the European continent[J]. Environmental Science and Technology, 2007, 41 (21): 7260-7265.
- [26] Saito N, Sasaki K, Nakatome K, et al. Perfluorooctane sulfonate concentrations in surface water in Japan [J]. Archives of Environmental Contamination and Toxicology, 2003, 45 (2): 149-158.
- [27] Lien N P H, Fujii S, Tanaka S, et al. Contamination of perfluorooctane sulfonate (PFOS) and perfluorooctanoate (PFOA) in surface water of the Yodo River basin (Japan) [J]. Desalination, 2008, 226(1-3); 338-347.

- [28] Boulanger B, Peck A M, Schnoor J L, et al. Mass budget of perfluorooctane surfactants in Lake Ontario [J]. Environmental Science and Technology, 2005, 39(1): 74-79.
- [29] Becker A M, Gerstmann S, Frank H. Perfluorooctane surfactants in waste waters, the major source of river pollution [J]. Chemosphere, 2008, 72(1): 115-121.
- [30] Huset C A, Chiaia A C, Barofsky D F, et al. Occurrence and mass flows of fluorochemicals in the glatt valley watershed, Switzerland [J]. Environmental Science and Technology, 2008, 42(17): 6369-6377.
- [31] Zushi Y, Takeda T, Masunaga S. Existence of nonpoint source of perfluorinated compounds and their loads in the Tsurumi River basin, Japan [J]. Chemosphere, 2008, 71(8): 1566-1573.
- [32] Loewen M, Halldorson T, Wang F Y, et al. Fluorotelomer carboxylic acids and PFOS in rainwater from an urban center in Canada[J]. Environmental Science and Technology, 2005, 39 (9): 2944-2951.
- [33] Nakayama S, Strynar M J, Helfant L, et al. Perfluorinated compounds in the cape fear drainage basin in North Carolina [J]. Environmental Science and Technology, 2007, 41 (15): 5271-5276.
- [34] So M K, Taniyasu S, Yamashita N, et al. Perfluorinated compounds in coastal waters of Hong Kong, South China, and Korea [J]. Environmental Science and Technology, 2004, 38 (15): 4056-4063.

HUANJING KEXUE

Environmental Science (monthly)

Vol. 33 No. 8 Aug. 15, 2012

CONTENTS

CONTENID	
Levels and Sources of Gaseous Polybrominated Diphenyl Ethers in Air over the Northern South China Sea	LI Qi-lu, LI Jun, LIU Xiang, et al. (2533)
Observation and Analysis of Air Pollution in Zhangjiakou , Hebei	
Smog Chamber Simulation of Ozone Formation from Atmospheric Photooxidation of Propane	
Mechanism and Performance of a Membrane Bioreactor for Treatment of Toluene Vapors	YE Qi-hong, WEI Zai-shan, XIAO Pan, et al. (2558)
Analysis of Odor Pollutants in Kitchen Waste Composting	
Spatial Changes and Sources of Nitrate in Beijing Urban Ecosystem Surface Water	
Distribution Characteristics and Potential Risk of PCBs in Surface Water from Three Tributaries of Yangtze River in Different Periods	
Distribution Characteristics and Potential Risks of Phenols in the Rainy Season Surface Water from Three Gorges Reservoir V	
Spatial Distribution of Perfluorooctanoic Acids and Perfluorinate Sulphonates in Surface Water of East Lake	
Characteristics of Heavy Metal Pollution in Daninghe River and Modaoxi River of Three Gorges Reservoir Areas	
Pollution Characteristics and Ecological Risk Assessment of Heavy Metals in the Surface Sediments of the Yangtze River	
Analysis of the Source, Potential Biological Toxicity of Heavy Metals in the Surface Sediments from Shellfish Culture Mudflats of Ru	dong Country, Jiangsu Province
Effect of Disturbance Intensity on Phosphorus Release and Its Transformation in the Sediment from Taihu Lake	LI Da-peng, HUANG Yong (2614)
Effects of Intrusions from Three Gorges Reservoir on Nutrient Supply to Xiangxi Bay	
Influence of Perennial Flooding and Drought on Growth Restoration of Acorus calamus in Water-level-fluctuation Zone of the Three G	orges Reservoir · · · · · · · · · · · · · · · · · · ·
Pollution Load and the First Flush Effect of Phosphorus in Urban Runoff of Wenzhou City	
Output Characteristics of Rainfall Runoff Phosphorus Pollution from a Typical Small Watershed in Yimeng Mountainous Area	
Influence of Land Use Structure on Nitrogen Output in the Watershed of Suburban Agriculture Regions	
Simulation of Nitrogen and Phosphorus Loss in Siling Reservoir Watershed with AnnAGNPS	
GIS and L-THIA Based Analysis on Variations of Non-point Pollution in the Guanlan River Watershed, Shenzhen	BAI Feng-jiao, LI Tian-hong (2667)
Response of Sloping Water Erosion to Rainfall and Micro-earth Pattern in the Loess Hilly Area	
Comparison Study of Enhanced Coagulation on Humic Acid and Fulvic Acid Removal	······ ZHOU Ling-ling, ZHANG Yong-ji, YE He-xiu, et al. (2680)
Real-time PCR Detection and Quantification of Emerging Waterborne Pathogens (EWPs) and Antibiotic Resistance Genes (ARGs)	in the Downstream Area of Jiulong River · · · · · · · · · · · · · · · · · · ·
Total time 1 of 2 occording to the second of 2 occording to the second occordi	····· WANG Qing, LIN Hui-rong, ZHANG Shu-ting, et al. (2685)
Quantitative and Qualitative Analysis of Total Bacteria and Ammonia-oxidizing Bacteria in Buji River in Wet Season	SUN Hai-mei, BAI Jiao-jiao, SUN Wei-ling, et al. (2691)
Study on the Nitrogen Removal Performance and the Characteristics of Denitrification Bacterial Community Structure of Biological Ae	
Analysis of Microbial Community Structure at Full-scale Wastewater Treatment Plants by Oxidation Ditch	GUO Yun, YANG Dian-hai, LU Wen-jian (2709)
Performance and Microbial Community Dynamic Characteristics of an Internal Circulation Reactor Treating Brewery Wastewater	
Coupling AFM Fluid Imaging with Micro-Flocculation Filtration Process for the Technological Optimization	·········· ZHENG Bei, GE Xiao-peng, YU Zhi-yong, et al. (2723)
Study on Removal Effect of Different Organic Fractions from Bio-treated Effluent of Dye Wastewater by UV/H ₂ O ₂ Process ·······	LI Xin, LIU Yong-di, SUN Xian-bo, et al. (2728)
Optimization of Chlorella pyrenoidosa-15 Photoheterotrophic Culture and Its Use in Wastewater Treatment	
Characteristics and Mechanism of 2,4,6-TCP Degradation by the "Fe ⁰ /Enriched-Bacteria" System	DAI You-zhi, GUO Li-li, SHI Lei, et al. (2741)
Immobilization of Crude Laccase onto Anion Exchange Resin and Its Application in Decoloration of Malachite Green	
Low-Temperature Preparation of TiO ₂ /PS/Fe ₃ O ₄ and Its Photocatalytic Activity and Magnetic Recovery	·· WANG Xue-jiao, REN Xue-chang, NIAN Juan-ni, et al. (2752)
Study on Catalytic Oxidation of Benzene by Microwave Heating	····· ZHANG Yu-cai, BO Long-li, WANG Xiao-hui, et al. (2759)
Synergistic Effects of Nano-sized Magnetic Particles and Uncoupler to the Characteristics of Activated Sludge	······ GAO Li-ying, TANG Bing, LIANG Ling-yan, et al. (2766)
Experimental and Modeling Research on the Settlement of Aerobic Granular Sludge	SU Kui-zu, DENG Xiu-kun, ZHENG Li, et al. (2773)
Analysis of Hydrolytic Enzyme Activities on Sludge Aerobic/Anoxic Digestion After Ultrasonic Pretreatment	YE Yun-di, SUN Shui-yu, ZHENG Li, et al. (2780)
Effect of Microbial Nutrient Concentration on Improvement of Municipal Sewage Sludge Dewaterability Through Bioleaching	SONG Yong-wei, LIU Fen-wu, ZHOU Li-xiang (2786)
Response of the Artificial Cyanobacterial Crusts to Low Temperature and Light Stress and the Micro-structure Changes Under Laborat	tory Conditions
	RAO Ben-qiang, LI Hua, XIONG Ying, et al. (2793)
Seasonal Dynamics of Soil Active Carbon Pool in a Purple Paddy Soil in Southwest China	WU Yan, JIANG Chang-sheng, HAO Qing-ju (2804)
Pollution Characteristics and Accumulation of Antibiotics in Typical Protected Vegetable Soils	······· YIN Chun-yan, LUO Yong-ming, TENG Ying, et al. (2810)
Transformation and Influences of Copper and Selenium Fractions on Heavy Metals Bioavailability in Co-contaminated Soil	
Response of Soil Microbial Community to the Bioremediation of Soil Contaminated with PAHs	
Bioremediation of PAHs Contaminated Soil from Beijing Coking Plant by Lasiodiplodia theobromae	
Leaching Experiments on the Release of Trace Elements from Tailings of Chashan Antimony Mine, Guangxi, China	
Accumulation Characteristics of Arsenic in Suburban Soils of Beijing	
Antioxidant Enzyme Gene Expression as Molecular Biomarkers of Exposure to Polycyclic Musks	
Effects of Ozone Pollution on the Accumulation and Distribution of Dry Matter and Biomass Carbon of Different Varieties of Wheat	
Influence of Reaction Time of Urea Hydrolysis-Based Co-precipitation on the Structure of ZnAl Layered Double Hydroxides and the I	
	LU Ying, CHENG Xiang, XING Bo, et al. (2868)
Competitive Adsorption Kinetics of Aqueous Pb ²⁺ and Cu ²⁺ on Nano-HAP Surfaces	
Effects of pH and Ni ² + on Sorption Behavior of Phenanthrene on Engineered Nano-Silica	
Adsorption Characteristics and Mechanism of Uranium on Attapulgite	LIU Juan, CHEN Di-vun ZHANG ling et al. (2889)
Adsorption Characteristics of Ciprofloxacin in Ustic Cambosols	
Kinetic Mechanism and Characteristics Researches for Hydrazine-based NO _x Removal at Moderate to High Temperatures	
Current Research Situation of H ₂ S Selective Catalytic Oxidation Technologies and Catalysts	
Sarrow recognition of 1120 concerns contained continuence and calculates	2210 Zinong ping, 200 Outing-yu, Zinino Ain, ti ut. (2007)

《环境科学》第6届编辑委员会

主 编:欧阳自远

副主编:赵景柱 郝吉明 田 刚

编 委:(按姓氏笔画排序)

万国江 王华聪 王凯军 王绪绪 田 刚 田 静 史培军

朱永官 刘志培 汤鸿霄 陈吉宁 孟 伟 周宗灿 林金明

欧阳自远 赵景柱 姜 林 郝郑平 郝吉明 聂永丰 黄 霞

黄耀 鲍强潘纲潘涛魏复盛

环枪种草

(HUANJING KEXUE)

(月刊 1976年8月创刊) 2012年8月15日 33卷 第8期

ENVIRONMENTAL SCIENCE

(Monthly Started in 1976)
Vol. 33 No. 8 Aug. 15, 2012

 主	管	山田利	Superintended	by	Chinese Academy of Sciences
		中国科学院	-	-	•
主	办	中国科学院生态环境研究中心	Sponsored	by	Research Center for Eco-Environmental Sciences, Chinese
协	办	(以参加先后为序)			Academy of Sciences
		北京市环境保护科学研究院	Co-Sponsored	by	Beijing Municipal Research Institute of Environmental
		清华大学环境学院			Protection
主	编	欧阳自远			School of Environment, Tsinghua University
编	辑	《环境科学》编辑委员会	Editor-in -Chief	•	OUYANG Zi-yuan
<i>9</i> m	邗	,,	Edited	by	The Editorial Board of Environmental Science (HUANJING
		北京市 2871 信箱(海淀区双清路			KEXUE)
		18号,邮政编码:100085)			P. O. Box 2871, Beijing 100085, China
		电话:010-62941102,010-62849343			Tel:010-62941102,010-62849343; Fax:010-62849343
		传真:010-62849343			E-mail; hjkx@ rcees. ac. cn
		E-mail; hjkx@ rcees. ac. cn			http://www.hjkx.ac.cn
		http://www.hjkx.ac.cn	Published	bv	Science Press
出	版	辞华出版 社	rublisheu	Бу	
		北京东黄城根北街 16 号			16 Donghuangchenggen North Street,
		邮政编码:100717			Beijing 100717, China
印刷装	ŧ 订	北京北林印刷厂	Printed	by	Beijing Bei Lin Printing House
发	行	斜学出版社	Distributed	by	Science Press
		电话:010-64017032			Tel:010-64017032
		E-mail:journal@mail.sciencep.com			E-mail:journal@mail.sciencep.com
订 购	处	全国各地邮电局	Domestic		All Local Post Offices in China
国外总统	发行	中国国际图书贸易总公司	Foreign		China International Book Trading Corporation (Guoji
		(北京 399 信箱)	-		Shudian), P. O. Box 399, Beijing 100044, China
		*			

中国标准刊号: ISSN 0250-3301 CN 11-1895/X

国内邮发代号: 2-821

国内定价:70.00元

国外发行代号: M 205

国内外公开发行